

**НАБЛЮДЕНИЕ ИЗЛУЧЕНИЯ ЧЕРЕНКОВСКОГО ТИПА
ПРИ РАСПРОСТРАНЕНИИ ПИКОСЕКУНДНЫХ ИМПУЛЬСОВ СВЕТА
В ПАРАХ НАТРИЯ**

В.И. Вайчайтис, М.В. Игнатавичюс, В.А. Кудряшов, Ю.Н. Пименов

Сообщаются результаты исследований конического излучения в парах натрия, возбуждаемого лазерным излучением, длина волны которого перестраивалась в коротковолновой области $3S - 3P_{3/2}$ перехода ($\lambda_{\text{л}} = 589 \div 576 \text{ нм}$). Полученные экспериментальные результаты позволяют интерпретировать наблюдаемое рассеяние в рамках модели черенковского излучения.

Исследования взаимодействия атомарной среды с распространяющимся в ней квазирезонансным лазерным излучением, частота которого $\omega_{\text{л}} \gtrsim \omega_{ab}$ (ω_{ab} – частота линии поглощения), выявили возникновение направленного вперед излучения с частотой $\omega_k \lesssim \omega_{ab}$ имеющего ярко выраженную коническую структуру^{1–4}. Для объяснения наблюданного явления предлагались различные теоретические модели, основанные на процессах четырехвольнового смешения и рассеяния в условиях самофокусировки лазерного излучения^{2–4}. Однако данные модели не дают удовлетворительного объяснения природы этого эффекта, поскольку в пространственно-частотном спектре рассеянного излучения отсутствует высокочастотная компонента, симметричная низкочастотной и неизбежная при процессе четырехвольнового смешения. Соответствие модели четырехвольнового смешения экспериментальным результатам обнаружено лишь при исследовании конического излучения, возникающего при резонанском возбуждении двухфотонно разрешенного перехода^{5, 6}. В работе⁷ природу конического излучения, возникающего при околосрезонансном возбуждении паров натрия, интерпретируется в рамках модели черенковского излучения с поверхности нити самофокусированного луча накачки. Возможность возникновения такого излучения теоретически обоснована еще в работе⁸. Нами проведены эксперименты, которые как качественно, так и количественно подтверждают черенковскую природу возникающего излучения рассеяния.

Мы наблюдали в парах натрия широкополосное коническое излучение рассеяния, индуцируемое лазерной накачкой, перестраиваемой в коротковолновой области $3S - 3P_{3/2}$ перехода (рис. 1). В качестве накачки использовалась вторая гармоника моноимпульсного пикосекундного параметрического генератора света, усиленная в красителе (родамин-6G). Энергия излучения накачки составляла $\sim 0,5 \text{ мДж}$ при длительности импульса 25 пс и спектральной ширине $\sim 60 \text{ см}^{-1}$. Излучение накачки, фокусированное линзами с $f = 25 \div 150 \text{ см}$ (или без фокусировки), направлялось в кювету с парами натрия, плотность которых составляла $(1 \div 50) \cdot 10^{15} \text{ см}^{-3}$. Плотность мощности в фокусе достигала 10 ГВт/см^2 . Перестройка возбуждающего излучения осуществлялась в диапазоне $589 \div 576 \text{ нм}$, включающем в себя двухфотонный резонанс с переходом $3S - 4D$. Для сравнения укажем, что во всех предыдущих исследованиях среда возбуждалась импульсами наносекундной длительности ($\tau_{\text{л}} = 2 \div 7 \text{ нс}$, $I \sim 0,1 \div 1 \text{ МВт/см}^2$) при перестройке возбуждающего излучения в пределах $< 1 \text{ нм}$.

Анализ зависимости характеристик конического излучения от величины отстройки возбуждающего излучения $\Delta\omega_{\text{л}} = \omega_{\text{л}} - \omega_{3S - 3P_{3/2}}$, степени его фокусировки и концентрации паров натрия позволил установить. 1) Структура излучения рассеяния остается постоянной во всем диапазоне перестройки частоты накачки за исключением области двухфотонного резонанса с переходом $3S - 4D$ (рис. 1). Ширина спектра рассеянного излучения достигает $\sim 780 \text{ см}^{-1}$, что значительно превышает ранее наблюдавшуюся ($\sim 5 \div 10 \text{ см}^{-1}$)^{1–4}. 2) Пространственно-частотное распределение конического излучения хорошо соответствует излучению черенковского типа (рис. 2), углы рассеяния которого определяются выраже-

нием

$$\theta_q = \arccos \frac{n_{\lambda}}{n(\omega)} \left[1 + \frac{\omega_{\lambda}}{n_{\lambda}} \frac{dn}{d\omega} \Big|_{\omega = \omega_{\lambda}} \right] \approx \sqrt{2[n(\omega) - n_{\lambda}]} \Big|_{\theta_q \ll 1}, \quad (1)$$

где $n(\omega)$ — показатель преломления. 3) Некоторое отклонение экспериментально зарегистрированных углов рассеяния от рассчитанных по (1) связывается нами с изменениями условий самофокусировки возбуждающего излучения (в соответствии с⁹) при изменении кон-

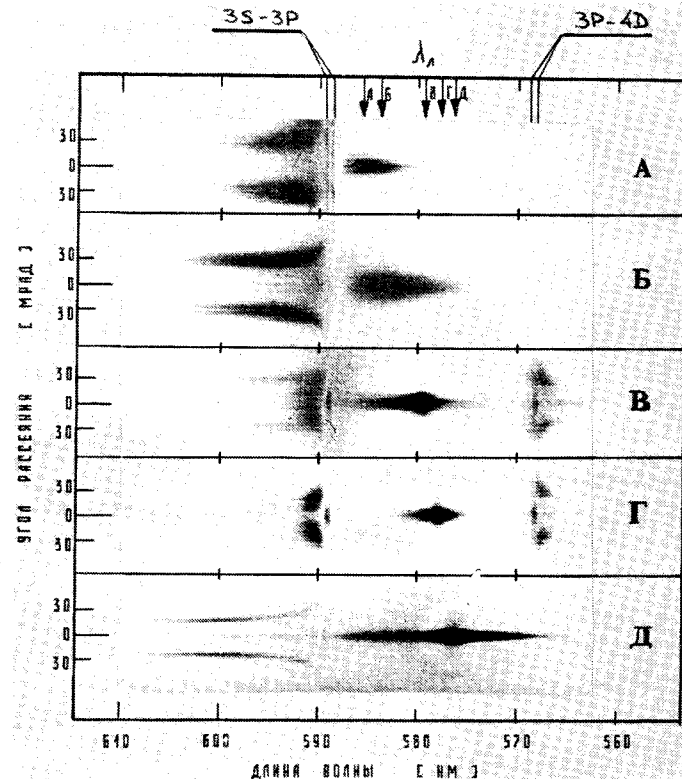


Рис. 1. Пространственно-частотные спектры излучения рассеяния при отстройке частоты на -качки в высокочастотную область $3S - 3P_{3/2}$ перехода:
 $\alpha = 95 \text{ см}^{-1}$, $\beta = 140 \text{ см}^{-1}$,
 $\gamma = 260 \text{ см}^{-1}$, $\delta = 305 \text{ см}^{-1}$,
 $\delta = 360 \text{ см}^{-1}$ ($N = 1,4 \cdot 10^{16} \text{ см}^{-3}$)

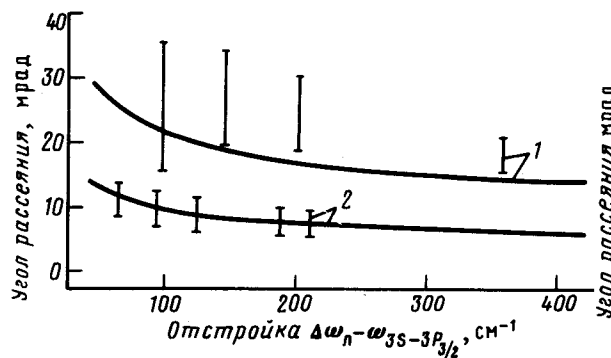


Рис. 2

Рис. 2. Зависимость половинного угла конуса черенковского излучения $\theta_q = \sqrt{2(n_{\lambda=600} - n_{\lambda})^2}$ на длине волны $\lambda = 600 \text{ нм}$ от отстройки возбуждающего излучения. Вертикальные полосы соответствуют экспериментально зарегистрированным углам рассеяния: 1 — $N = 1,4 \cdot 10^{16} \text{ см}^{-3}$, $f = 30 \text{ см}$; 2 — $N = 2,9 \cdot 10^{15} \text{ см}^{-3}$, $f = 100 \text{ см}$

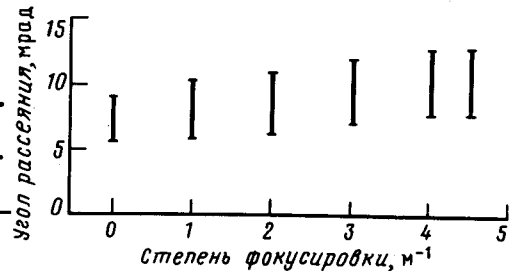


Рис. 3

Рис. 3. Зависимость экспериментально зарегистрированных углов рассеяния на длине волны $\lambda = 600 \text{ нм}$ от степени фокусировки возбуждающего излучения $\lambda_{\lambda} = 582 \text{ нм}$ при $N = 3,1 \cdot 10^{15} \text{ см}^{-3}$

центрации паров и степени фокусирования накачки. Фокусировка излучения накачки приводит к увеличению углов рассеяния (рис. 3). Увеличение концентрации паров уменьшает зависимость углов рассеяния от фокусировки. 4) С приближением частоты возбуждающего излучения к двухфотонному резонансу $3S - 4D$ природа конического излучения определяется двумя процессами, хорошо различимыми на спектрограмме (рис. 1, в): излучением черенковского типа $\omega_4 < \omega_{3S - 3P_{3/2}}$ и излучением четырехфотонного параметрического рассеяния при полном фазовом согласовании взаимодействующих волн $\omega_{\text{ЧПР}}^{(1)} < \omega_{3S - 3P_{3/2}}$ и $\omega_{\text{ЧПР}}^{(2)} > \omega_{3P_{3/2} - 4D}$, аналогичным исследованному в^{5, 6}. 5) При точном двухфотонном резонансе $3S - 4D$ (рис. 1, г) наблюдается полное подавление излучения черенковского типа, а природа конического излучения определяется только процессом четырехфотонного параметрического рассеяния. Дальнейшее увеличение отстройки приводит к исчезновению излучения четырехфотонного параметрического рассеяния и вновь появлению широкополосного излучения черенковского типа (рис. 1, д). Последние обстоятельства интерпретируются нами как существенный довод для объяснения наблюдавшегося рассеяния в рамках модели черенковского излучения. Исчезновение рассеяния черенковского типа при двухфотонном резонансе связано с устранением источника этого излучения — вследствии резонансного двухфотонного поглощения накачки¹⁰.

Таким образом, экспериментальные результаты, полученные при исследовании конического рассеяния в парах натрия с использованием пикосекундных импульсов света в качестве возбуждающего излучения, позволяют связать природу этого рассеяния с черенковским излучением, возникающим на поверхности нитей самофокусировки луча лазерной накачки.

Литература

1. Бонч-Бруевич А.М., Ходовой В.А., Хромов В.В. Письма в ЖЭТФ, 1970, **11**, 431.
2. Skinner C.H., Kleiber P.D. Phys. Rev., 1980, **21A**, 151.
3. Harter D.J., Boyd R.W. Optics Letters, 1982, **7**, 491; Phys. Rev., 1984, **29A**, 739.
4. Плеханов А.И., Раутян С.Г., Сафонов В.П., Черноброд Б.М., ЖЭТФ, 1985, **88**, 426.
5. Вайчайтис В.И., Игнатович М.В., Кудряшов В.А., Пименов Ю.Н., Устинов Н.Д. Письма в ЖЭТФ, 1985, **41**, 66.
6. Krasinski J., Gauthier D.J., Malcuit M.S., Boyd R.W. Optics Comm., 1985, **54**, 241.
7. Golub I., Erez G., Shuker R. Journal of Physics, 1986, **19B**, L115.
8. Аскарьян Г.А. ЖЭТФ, 1962, **42**, 1360.
9. Луговой В.Н., Прохоров А.М. ЖЭТФ, 1975, **69**, 84.
10. Луговой В.Н., Прохоров А.М. УФН, 1973, **111**, 203.

Поступила в редакцию

19 февраля 1987 г.